

# Примеры одно- и двумерных алгоритмов, обладающих субпиксельной точностью

И.Л.Жогин (НПП «Буревестник», zhogin\_il@bourestnik.spb.ru)

## 1. Пример одномерного алгоритма субпиксельной точности

Одномерный алгоритм субпиксельной точности задействован в счетном рентгеновском однокоординатном детекторе ОД-3М, где точка поглощения кванта соотносится с центром лавины, образующейся в дрейфовом промежутке детектора [1]. Центр или максимум лавины вычисляется по зарядам, наведенным на три соседних стрипа,  $a$ ,  $b$ ,  $c$  (при этом  $b \geq a, c$ ), с точностью более высокой ( $\sim 0.1$  мм), чем шаг стрипов ( $\sim 5$  мм).

Плотность заряда, наводимого на стрипы в окрестностях центра лавины можно представить в виде (росток функции из двух членов ряда)

$$f(x) = A - p(x - u)^2/2 + \dots \quad (1)$$

Заряд, попадающий на стрип, центр которого – в точке  $x^*$  (начало отсчета поместим в центре стрипа  $b$ ), определяется интегралом роста (1) по ячейке-стрипу (пренебрегаем зазорами, ширина стрипов = 1):

$$I(x^*) = \int_{-0.5}^{0.5} f(x+x^*) dx = A - p/24 - p(x^* - u)^2/2; \quad (2)$$

$$b = I(0), \quad a = I(-1), \quad c = I(1).$$

Записывая антисимметричную,  $c - a = 2pu$ , и симметричную комбинации пикселей (сигналов), можно найти координату максимума,  $u$ ,

$$2u = (c - a)/(2b - a - c), \quad (3)$$

а также остальные параметры роста (1), связанные с его амплитудой и шириной:  $p = 2b - a - c$ ,  $A = b + p/24 + pu^2/2$ .

Если  $b=c$  ( $b=a$ ), то из (3) получим  $u = 0.5$  ( $-0.5$ ), край пикселя.

Аналогичным образом можно учесть в (1) следующий член ряда – третьей (или четвертой – если функция симметрична) степени, и по четырем смежным стриповым сигналам найти параметры ряда.

В этом случае выражения для координаты максимума получаются более громоздкими, с квадратными корнями.

## 2. Трапециевидные, перекрывающиеся пиксельные функции (зоны) при одномерном сканировании

Одномерное изображение (ряд отсчетов, «пикселей») какой-то функции  $f(z)$  можно получить не только с помощью линейки сенсоров, но и путем равномерного движения по  $z$ , со скоростью  $V$ , одного «точечного» сенсора, размер которого пусть равен  $h_0$ . Если время сканов (а также время экспонирования – снова пренебрегаем «зазорами») равно  $T$ , то период следования «пикселей» будет равен  $h = VT$ , см. Рис.1. Конечно, в общем случае время экспозиции может не совпадать со временем скана.

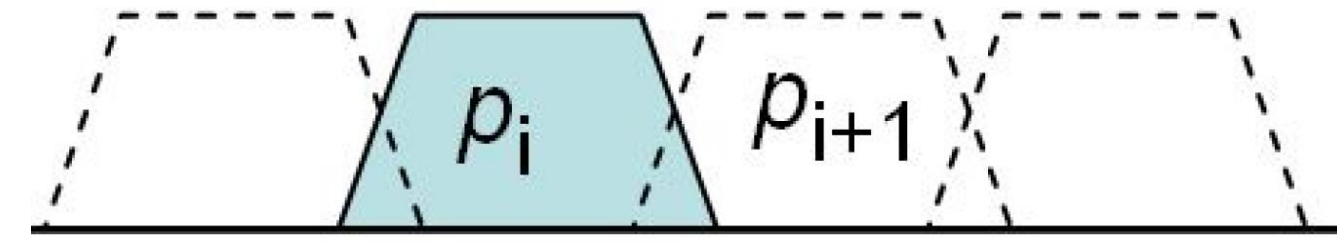


Рис.1. Перекрывающиеся «пиксели», равномерное сканирование

Трапециевидную форму пикселей можно представить как разницу двух треугольников. Основание трапеции (большого треугольника) равно  $h_0 + h$  (это размер участка, дающего вклад в один отсчет или скан – к размеру сенсора добавляется длина, которую сенсор проходит за время скана; разные фрагменты этого участка находятся над сенсором, во время выбранного скана, разное время, а график этого времени имеет вид трапеции). Длина верхнего отрезка трапеции (и основания меньшего треугольника) равна  $|h_0 - h|$ , наклон боковых сторон, тангенс угла наклона, равен  $\pm 1/V$ , а проекция этих сторон равна  $\min\{h, h_0\}$ .

Нормируем график времени на время скана  $T$ , а дифференциал  $dz$  на ширину  $h_0$ ; в результате среднее по пикселю принимает следующий вид (в центре пикселя  $z=0$ ; при  $h=h_0$  трапеция вырождается в треугольник):

$$\langle F(z) \rangle_z = \int_{-\infty}^{\infty} F(z)P(z) dz = \int_{-\infty}^{\infty} F(z)[P_1(z) - P_2(z)] dz, \quad (4)$$

$$\text{где } P_1 = \begin{cases} \frac{h_0+h-2|z|}{2hh_0}, & \text{если } |z| < \frac{h+h_0}{2}; \\ 0, & \text{если } |z| \geq \frac{h+h_0}{2}; \end{cases} \quad P_2 = \begin{cases} \frac{|h_0-h|-2|z|}{2hh_0}, & \text{если } |z| < \frac{|h_0-h|}{2}; \\ 0, & \text{если } |z| \geq \frac{|h_0-h|}{2}. \end{cases}$$

Распределение  $P(z)$  четно, см. (4); для четных степеней  $z^{2p}$  нетрудно найти (нечетные средние равны нулю;  $\langle 1 \rangle_z = 1$ , нормировка на единицу):

$$\langle z^{2p} \rangle_z = 2^{-2p-2} \frac{(h+h_0)^{2p+2} - (h-h_0)^{2p+2}}{(p+1)(2p+1)h h_0}; \quad \langle z^2 \rangle_z = \frac{h^2 + h_0^2}{12}. \quad (5)$$

В пределе  $h_0 \rightarrow 0$  получим средние обычных прямоугольных пикселей – можно сравнить (5) и второе слагаемое в (2). Для задачи определения положения максимума и в более общем случае трапециевидных пикселей будет справедливо выражение (3).

Для более высокой точности, однако, нужно учесть, что из-за точности изготовления линейных сенсоров (или из-за неоднородности движения сканирующего сенсора), пиксельные распределения могут немного отличаться друг от друга. Это может быть отражено с помощью неких поправочных коэффициентов к средним значениям, см. (5). Небольшие смещения центров пикселей от идеальных, равномерно распределенных положений приводят, например, к тому, что  $\langle z \rangle_z \neq 0$ . Могут потребоваться более сложные способы калибровки (для оценки всех требующихся поправочных коэффициентов – не только различия в «площади» ячеек, но и средние более высоких степеней, первой и второй).

## 3. Примеры двумерных алгоритмов, достигающих субпиксельной точности

Похожей двумерной задачей является определение центра лазерной линии в изображении 3D-камеры (измерение высоты объектов методом лазерной триангуляции; на Рис.2 показана камера C2-640-GigE, Automation Technology). Рисунок 3 сравнивает алгоритмы субпиксельной точности COG (center of gravity; учитываются пиксели с яркостью выше некоторого порога) и Peak Detector [2]. По-видимому, это алгоритмы одномерного типа.

Аналогично (1) можно рассматривать 2D-росток яркости лазерной линии:

$$f(x, y) = A + By - (a + by)(x - u - vy)^2/2; \quad (6)$$

шесть параметров роста (включая координату центра и наклон линии центра) можно найти по значениям сигналов шести пикселей, образующих прямоугольник  $3 \times 2$  (хотя при больших наклонах линии максимум будет сползать, и можно брать скошенные кластеры из шести пикселей, см. рис.4):

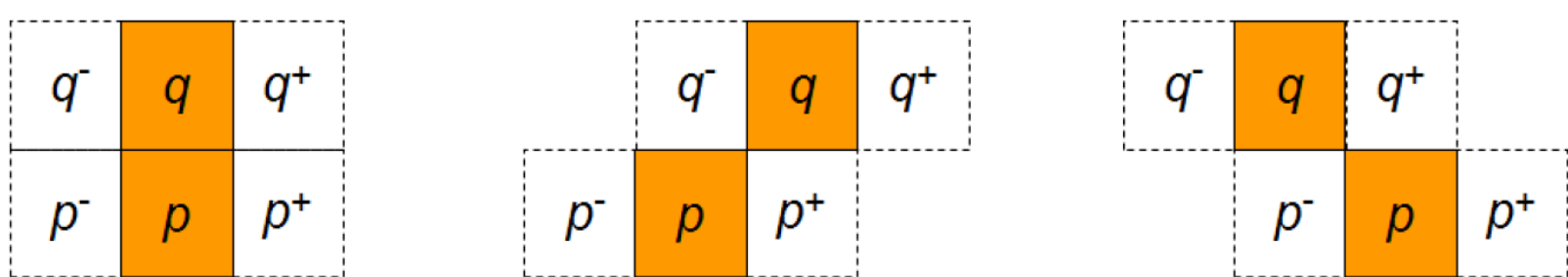


Рис.4. Кластеры из шести пикселей возле центра лазерной линии

Действуя похожим образом (вычисляя интеграл по площади пикселей из кластера и рассматривая их комбинации), можно найти следующее выражение для параметров, определяющих положение центра линии (опять считаем, что нет зазоров, пиксели – идеальные квадраты размера 1):

$$\begin{pmatrix} u \\ v \end{pmatrix} = D^{-1} \begin{pmatrix} 2a & -4b/3 \\ -2b & 4a \end{pmatrix} \begin{pmatrix} q^+ - q^- + p^+ - p^- \\ q^+ - q^- - p^+ + p^- \end{pmatrix}, \quad (7)$$

где  $D = 8(a^2 - b^2/3)$  – детерминант (он не должен быть равен нулю),

$$a = q^+ + p^+ - (q^- + q^+ + p^- + p^+)/2, \quad b = 2q - q^+ - q^- + 2p - p^+ - p^-. \quad (8)$$

Если говорить о другой задаче – поиске координат отдельных пиков (например, рефлексов дифракционной картинки), то ее можно решить, взяв росток функции  $f(x, y) = A - a(x - u)^2/2 - b(x - u)(y - v) - c(y - v)^2/2$  и кластер, включающий центральный (максимальный) пиксель, его четыре ближайших соседа, и один из диагональных соседей.



Рис.2. 3D-камера C2-640-GigE, алгоритм COG (center of gravity) для вычисления центра линии

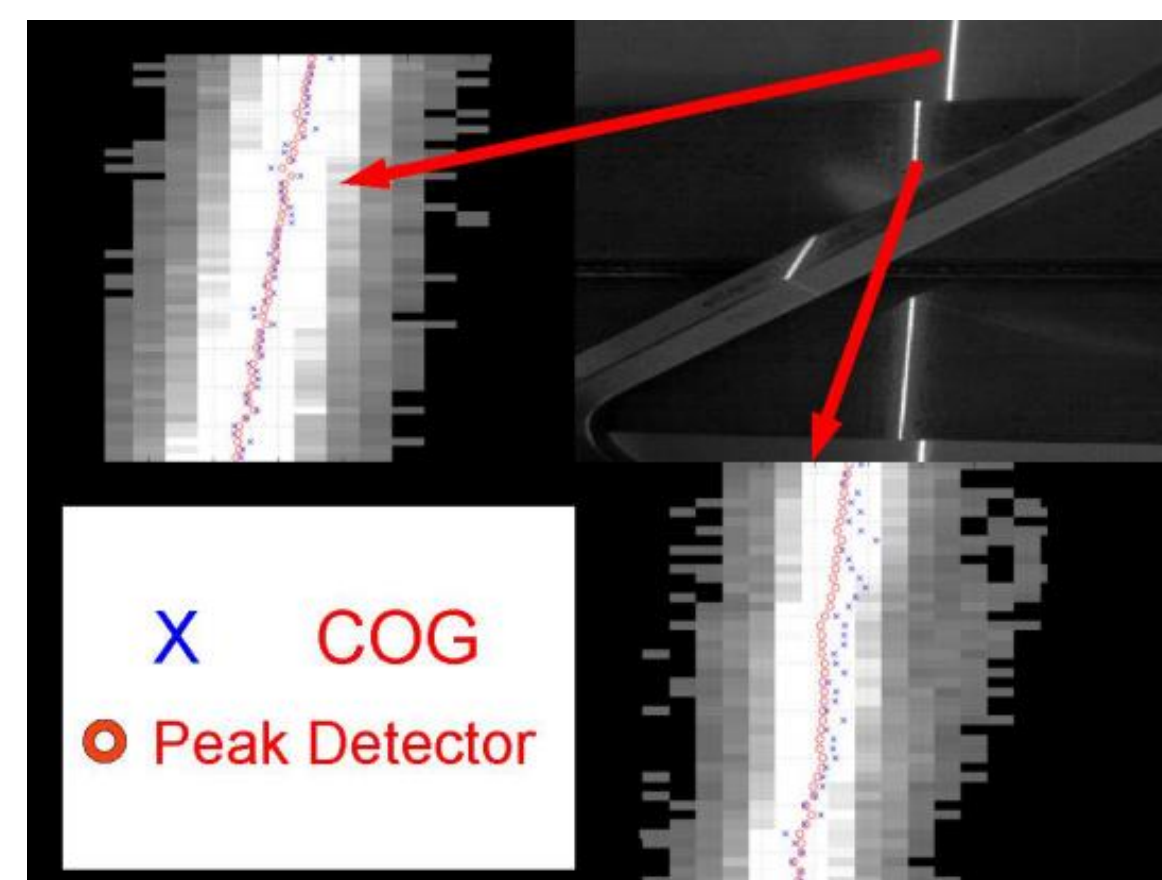
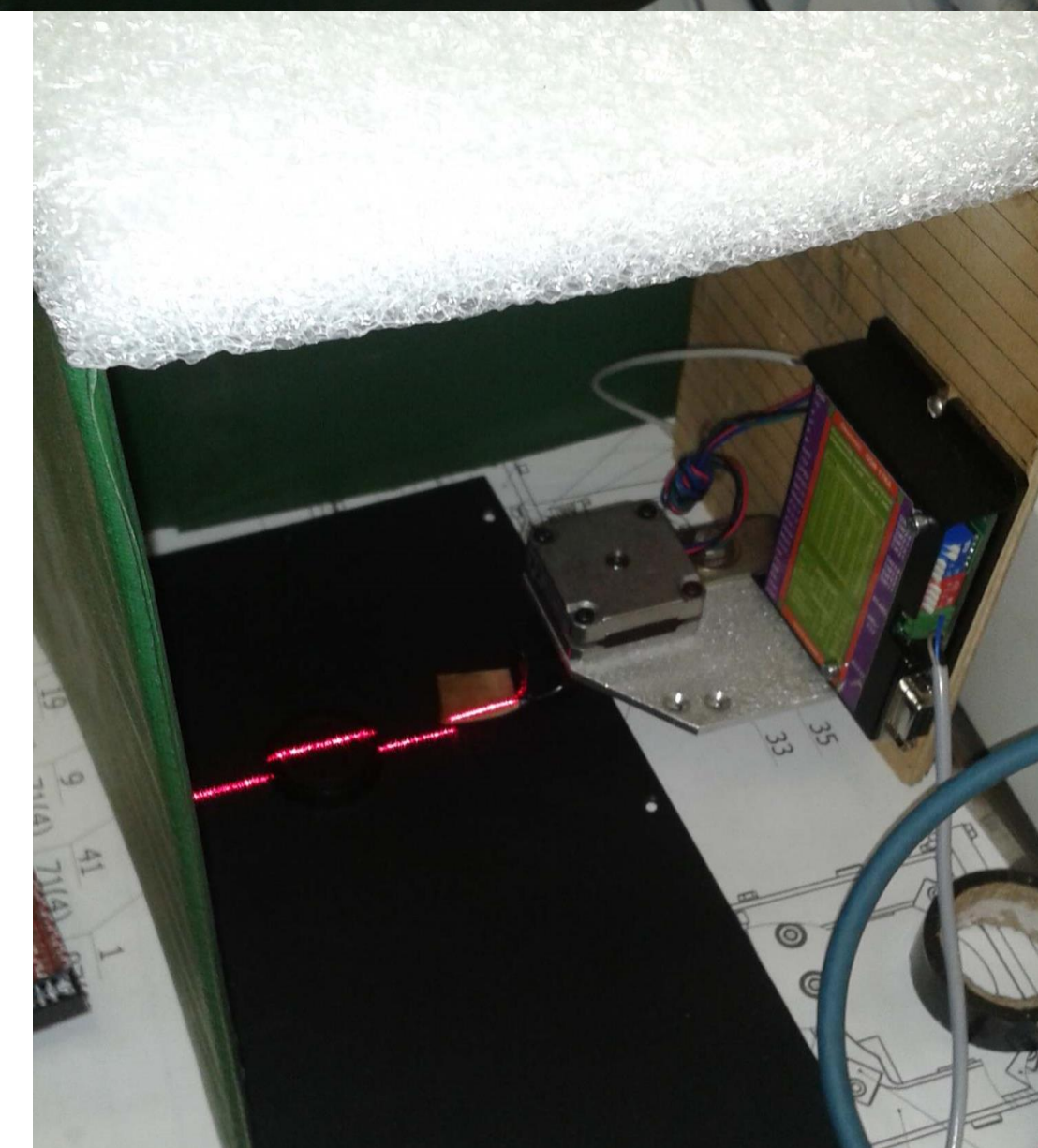


Рис.3. Сравнение алгоритмов субпиксельной точности COG (center of gravity) и Peak Detector (поиск максимума пика) [2]



### Литература

- [1] V.M. Aulchenko, O.V. Evdokov, et al., Nuclear Instruments and Methods. A603, 76 (2009).  
И.Л. Жогин, В.В. Жуланов, В.М. Титов. XIX Нац. конф. по синхротронному излучению. Сборник тезисов. Новосибирск: 2012, 78.  
[2] www.photonfocus.com/fileadmin/web/manuals/MAN065\_e\_V1\_0\_MV1\_D1024E\_3D02.pdf